

Procjene maksimalnih godišnjih kratkotrajnih količina oborine na postaji Gospic

Geografska širina (ϕ): 44.55056° (410460.94E)

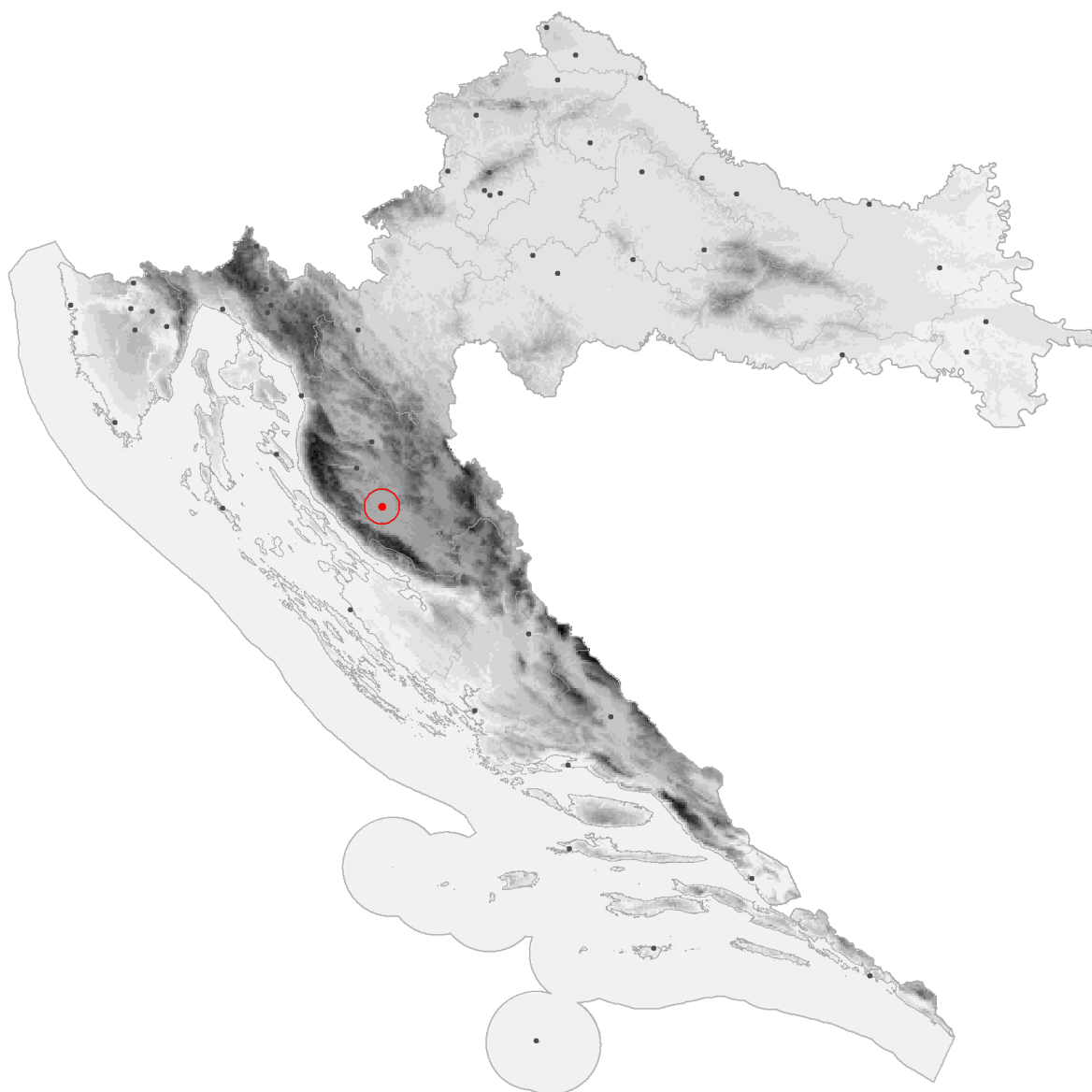
Geografska dužina (λ): 15.37306° (4935123.08N)

Nadmorska visina (h): 567 m

Razdoblje: 1962. – 2020.

Analizirani broj godina: 57 (96.6 %)

Nedostajuće godine: 2 (3.4 %) 1971, 1998



Najbliži ombrograf: Kosinjski Bakovac, 21 km

Tablica 1.

Osnovni statistički parametri oborine za različita trajanja: Rsred – srednjak [mm], StDev – standardna devijacija [mm], CV – koeficijent varijacije oborine, Rmaks – najveća registrirana količina oborine [mm] i pripadni datum i vrijeme, Tmaks – pripadno povratno razdoblje za Rmaks [god].
GOSPIĆ, razdoblje 1962. – 2020.

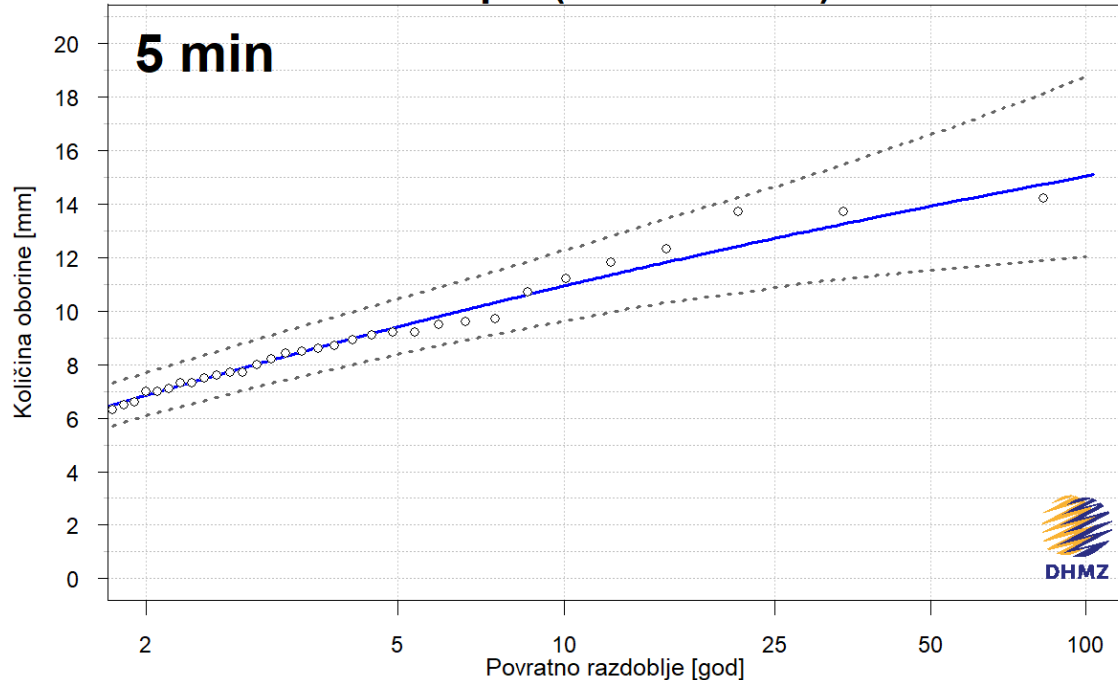
Trajanje	Rsred	StDev	CV	Rmaks	Datum/Vrijeme	Tmaks
5 min	7.2	2.8	0.39	14.2	1999-09-21 09:10:00	59
10 min	11.7	4.1	0.35	21.9	1964-10-12 19:15:00	51
20 min	18.3	6.5	0.36	37.8	1964-10-12 19:20:00	87
30 min	22.6	8.3	0.37	47.6	1969-08-23 13:00:00	76
40 min	25.8	9.8	0.38	59.9	1969-08-23 13:10:00	122
50 min	27.9	10.4	0.37	64.7	1969-08-23 13:15:00	126
60 min	29.3	10.8	0.37	67.1	1969-08-23 13:10:00	120
2 h	36.0	12.7	0.35	91.3	1969-08-23 13:55:00	216
3 h	41.8	14.5	0.35	104.9	1969-08-23 13:55:00	236
4 h	45.6	15.5	0.34	110.2	1969-08-23 14:30:00	171
6 h	52.2	17.0	0.33	110.8	1969-08-23 15:20:00	74
8 h	57.0	18.8	0.33	112.8	2017-09-11 14:00:00	49
12 h	64.3	21.1	0.33	122.7	1969-08-23 14:30:00	42
24 h	79.6	27.6	0.35	159.1	2002-09-22 20:05:00	49

Tablica 2.

Procjene maksimalnih godišnjih količina oborine RT [mm] za različita trajanja i odgovarajuće donje (IPd) i gornje granice (IPg) 95%-tih intervala pouzdanosti za različita povratna razdoblja T (2, 5, 10, 25, 50 i 100 godina). **GOSPIĆ**, razdoblje **1962. – 2020.**

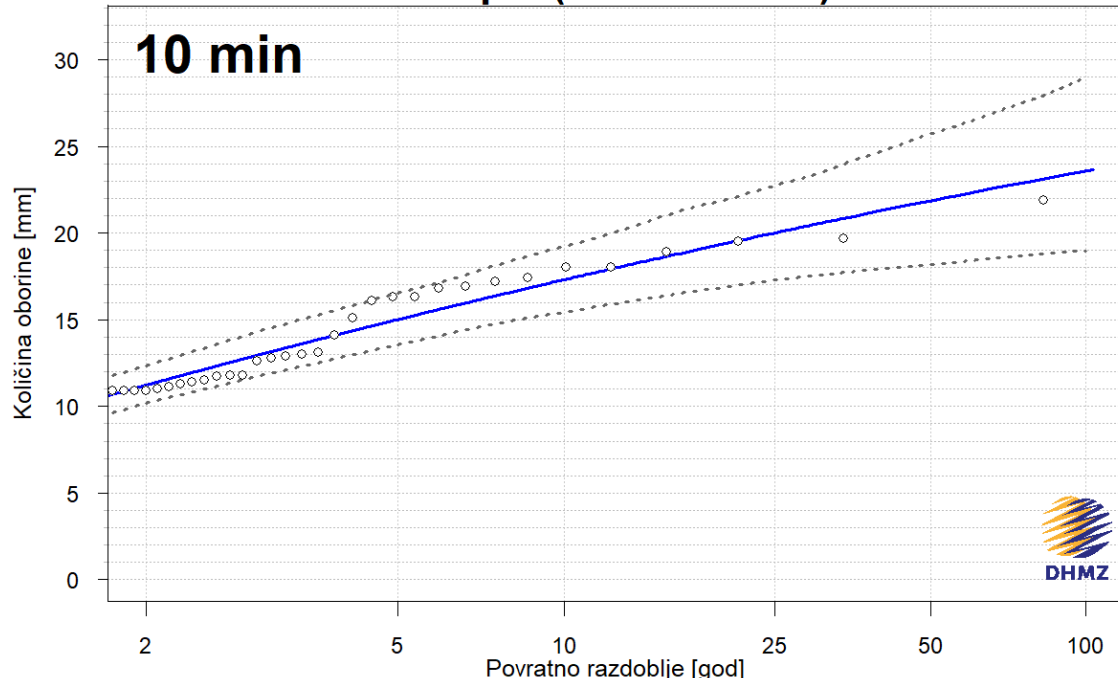
Trajanje	T2			T5			T10			T25			T50			T100		
	IPd	RT	IPg	IPd	RT	IPg	IPd	RT	IPg	IPd	RT	IPg	IPd	RT	IPg	IPd	RT	IPg
5 min	6.1	6.8	7.7	8.4	9.4	10.5	9.6	10.9	12.3	10.9	12.7	14.6	11.5	13.9	16.6	12.0	15.0	18.7
10 min	10.2	11.2	12.3	13.5	15.0	16.5	15.4	17.3	19.2	17.3	20.0	22.7	18.2	21.9	25.7	19.0	23.6	28.9
20 min	15.7	17.3	19.0	21.1	23.2	25.4	24.2	27.0	30.1	27.6	31.7	36.6	29.4	35.2	41.9	30.9	38.5	47.7
30 min	19.3	21.1	23.3	25.6	28.5	31.5	29.7	33.5	37.6	33.8	39.8	46.3	36.6	44.7	54.6	38.8	49.5	63.5
40 min	21.8	24.0	26.3	29.0	32.4	35.7	33.1	38.3	43.1	38.1	46.0	54.1	40.9	52.0	63.7	43.7	58.1	74.7
50 min	23.5	25.9	28.5	30.9	34.8	39.4	35.6	41.0	47.4	40.8	49.3	59.6	44.4	55.7	71.7	47.2	62.4	84.5
60 min	24.7	27.2	29.9	32.6	36.4	40.1	37.2	42.8	48.3	42.2	51.5	61.2	45.7	58.2	72.5	48.2	65.2	87.0
2 h	30.5	33.3	36.6	39.3	43.8	49.5	45.1	51.6	59.6	51.7	62.3	75.5	55.9	70.9	91.7	60.0	80.2	110.5
3 h	35.7	38.8	42.4	46.0	51.1	57.2	52.3	59.9	68.9	59.1	71.9	87.3	64.1	81.5	103.5	68.0	91.6	123.7
4 h	39.1	42.2	46.2	49.8	55.4	61.2	56.4	65.0	74.3	64.8	78.3	94.9	70.4	89.1	115.7	74.3	100.6	142.5
6 h	44.4	48.0	51.9	55.5	62.3	68.3	62.9	73.3	83.1	71.9	89.2	110.6	78.2	102.5	137.3	85.0	117.4	170.2
8 h	48.4	52.3	56.6	61.3	68.2	75.8	69.4	80.4	91.9	79.2	98.2	120.4	86.3	113.3	151.5	92.6	130.2	189.4
12 h	54.2	59.1	64.5	68.9	76.9	86.0	78.5	90.6	105.3	90.9	110.4	137.6	99.0	127.0	171.0	106.0	145.5	213.9
24 h	66.0	73.5	81.6	87.3	98.0	111.8	100.0	115.7	133.5	115.4	140.1	172.2	123.8	159.7	209.8	132.3	180.5	260.4

Gospic (1962. – 2020.)



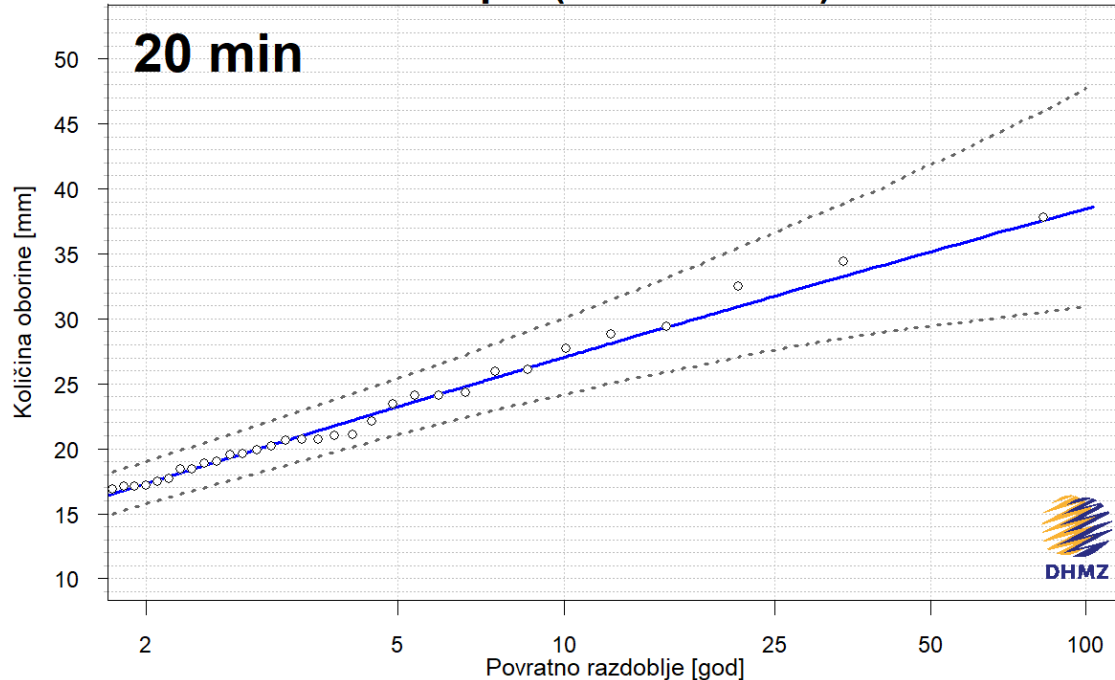
Slika 1. Procjene maksimalnih godišnjih količina oborine za različita povratna razdoblja (plava krivulja) i odgovarajući donji i gornji 95%-tni intervali pouzdanosti (crtkane krivulje) za trajanje **5 minuta**, izračunate pomoću razdiobe GEV

Gospic (1962. – 2020.)



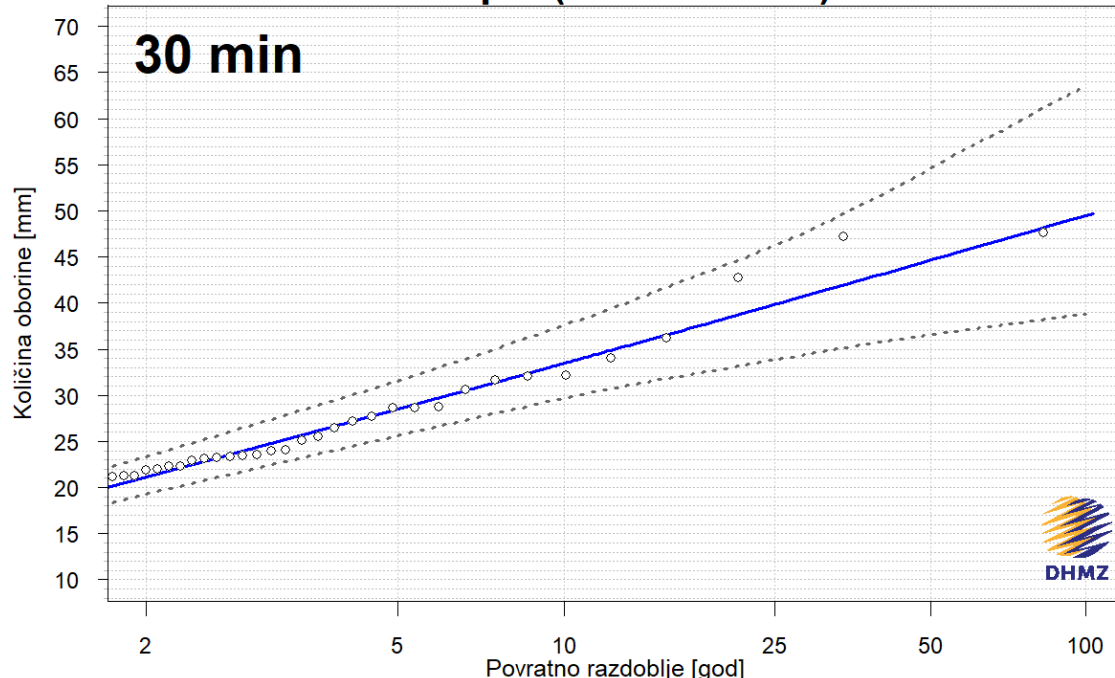
Slika 2. Procjene maksimalnih količina oborine za različita povratna razdoblja (plava krivulja) i odgovarajući donji i gornji 95%-tni intervali pouzdanosti (crtkane krivulje) za trajanje **10 minuta**, izračunate pomoću razdiobe GEV

Gospic (1962. – 2020.)



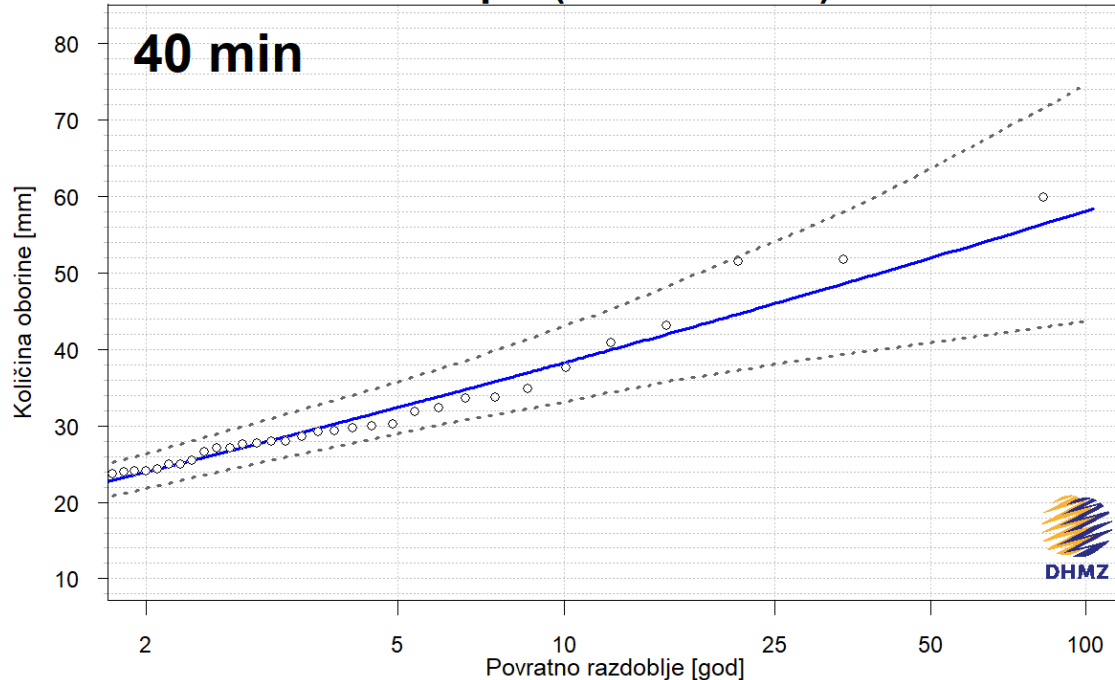
Slika 3. Procjene maksimalnih godišnjih količina oborine za različita povratna razdoblja (plava krivulja) i odgovarajući donji i gornji 95%-tni intervali pouzdanosti (crtkane krivulje) za trajanje **20 minuta**, izračunate pomoću razdiobe GEV

Gospic (1962. – 2020.)



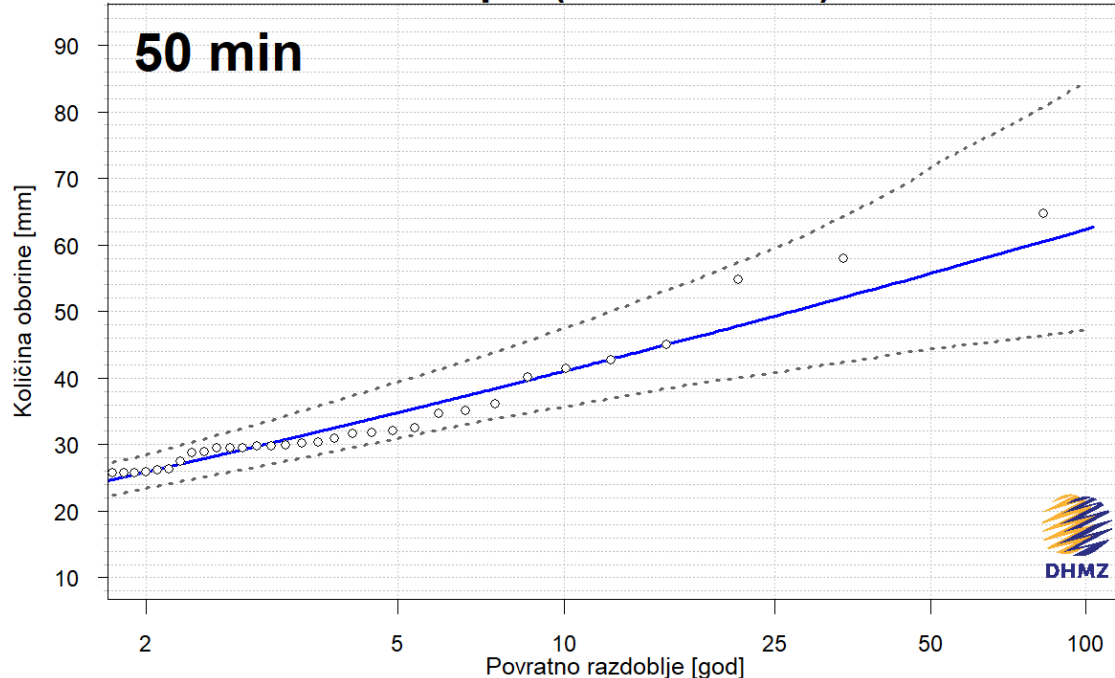
Slika 4. Procjene maksimalnih godišnjih količina oborine za različita povratna razdoblja (plava krivulja) i odgovarajući donji i gornji 95%-tni intervali pouzdanosti (crtkane krivulje) za trajanje **30 minuta**, izračunate pomoću razdiobe GEV

Gospic (1962. – 2020.)



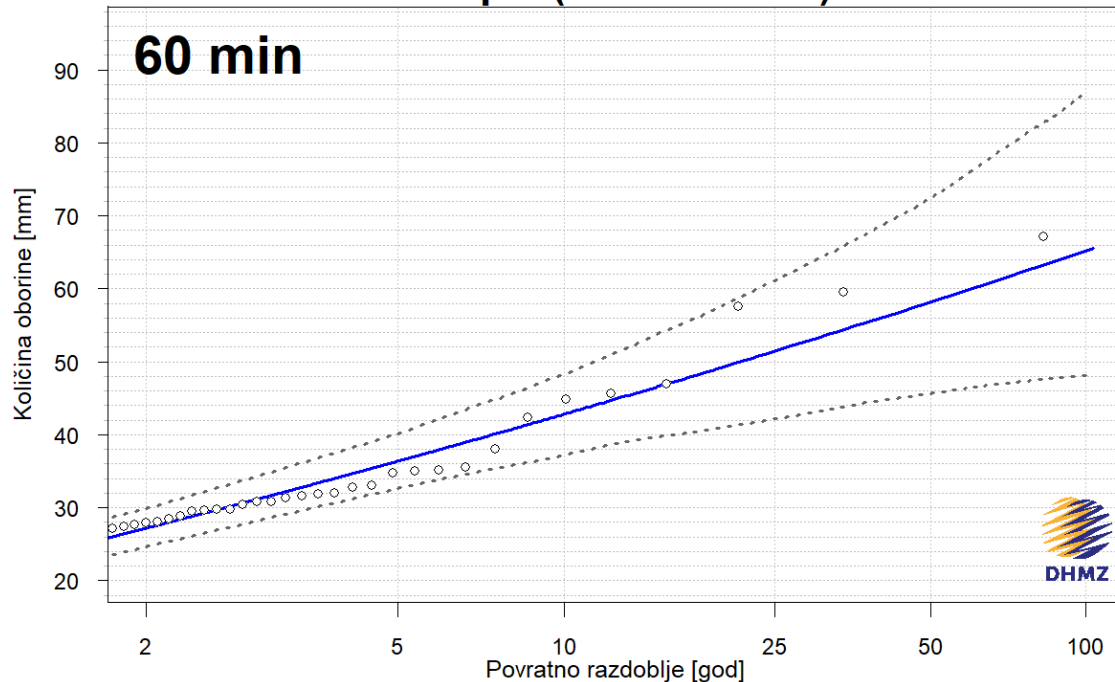
Slika 5. Procjene maksimalnih godišnjih količina oborine za različita povratna razdoblja (plava krivulja) i odgovarajući donji i gornji 95%-tni intervali pouzdanosti (crtkane krivulje) za trajanje **40 minuta**, izračunate pomoću razdiobe GEV

Gospic (1962. – 2020.)



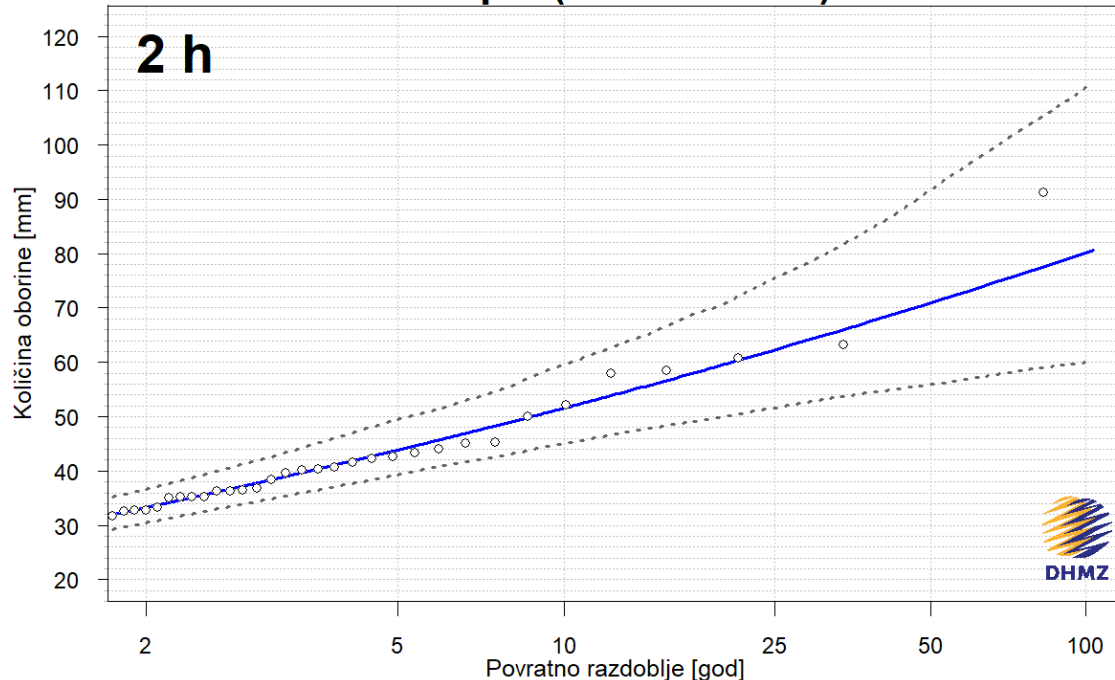
Slika 6. Procjene maksimalnih godišnjih količina oborine za različita povratna razdoblja (plava krivulja) i odgovarajući donji i gornji 95%-tni intervali pouzdanosti (crtkane krivulje) za trajanje **50 minuta**, izračunate pomoću razdiobe GEV

Gospic (1962. – 2020.)

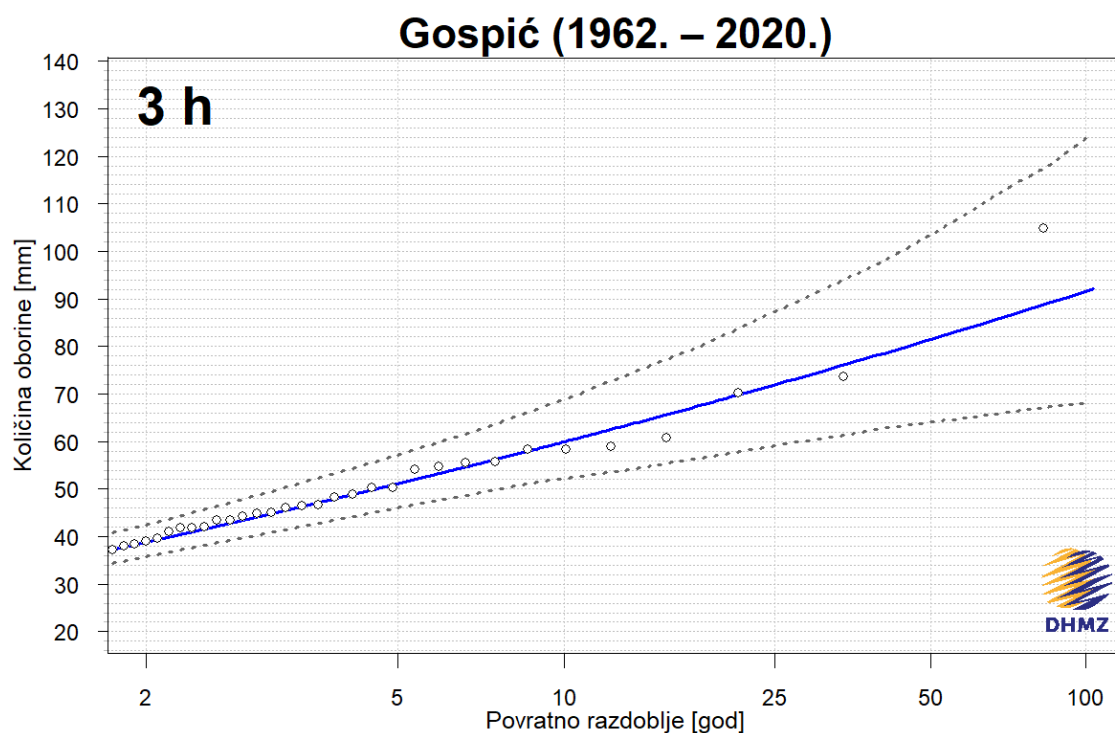


Slika 7. Procjene maksimalnih godišnjih količina oborine za različita povratna razdoblja (plava krivulja) i odgovarajući donji i gornji 95%-tni intervali pouzdanosti (crtkane krivulje) za trajanje **60 minuta**, izračunate pomoću razdiobe GEV

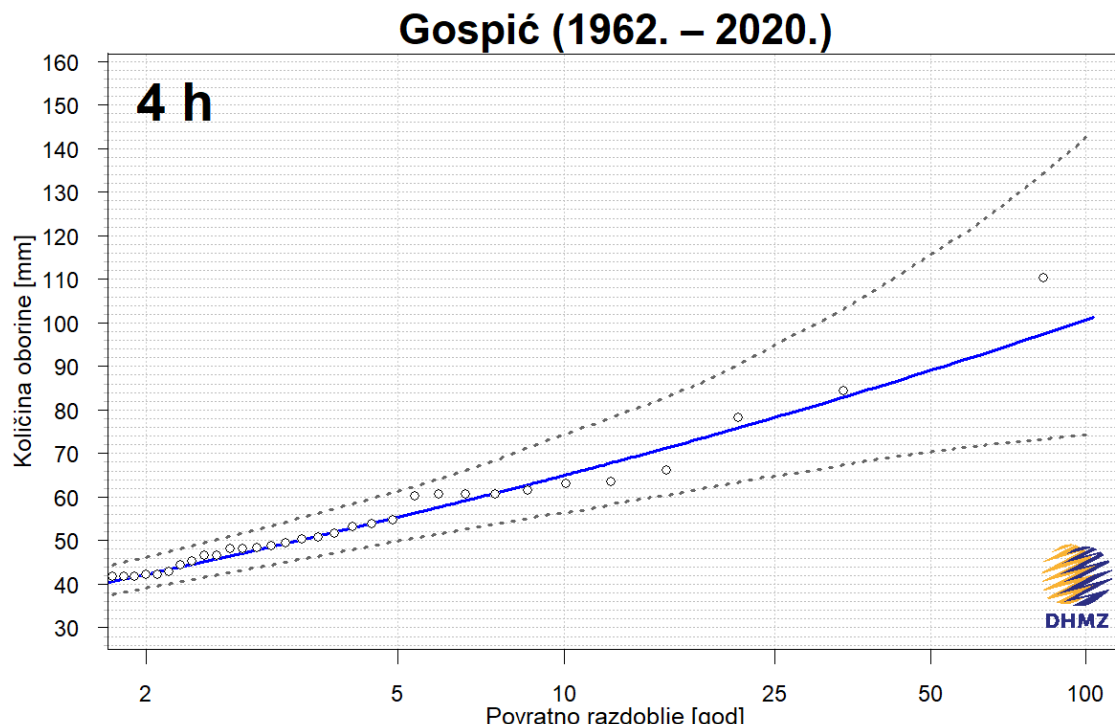
Gospic (1962. – 2020.)



Slika 8. Procjene maksimalnih godišnjih količina oborine za različita povratna razdoblja (plava krivulja) i odgovarajući donji i gornji 95%-tni intervali pouzdanosti (crtkane krivulje) za trajanje **2 h**, izračunate pomoću razdiobe GEV

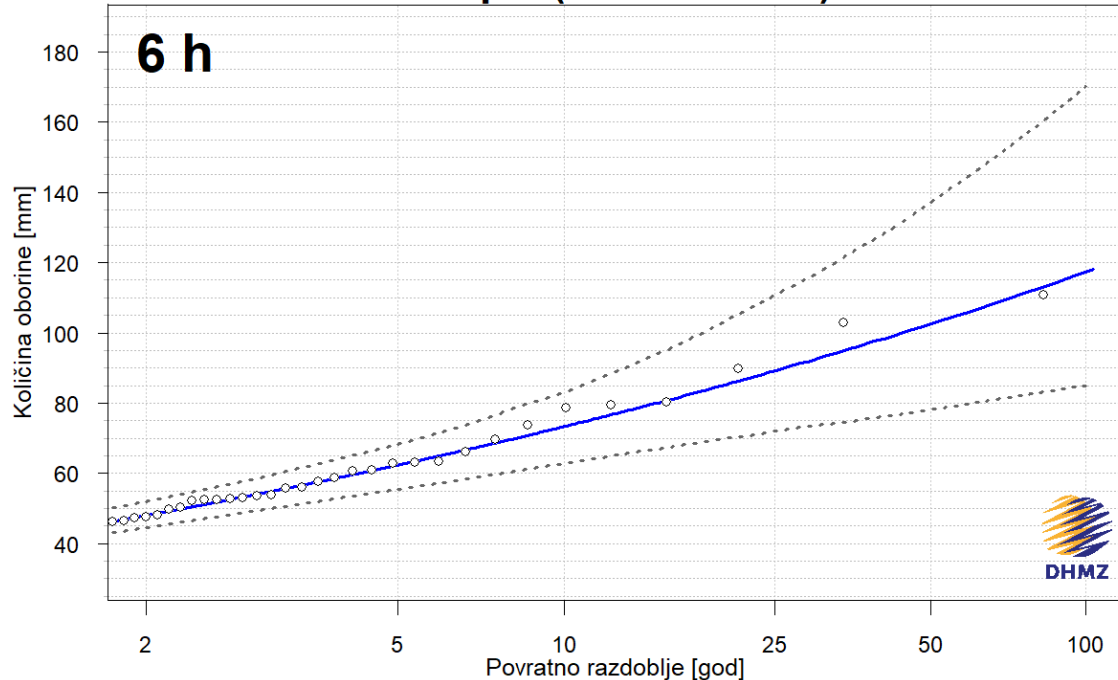


Slika 9. Procjene maksimalnih godišnjih količina oborine za različita povratna razdoblja (plava krivulja) i odgovarajući donji i gornji 95%-tni intervali pouzdanosti (crtkane krivulje) za trajanje 3 h, izračunate pomoću razdiobe GEV



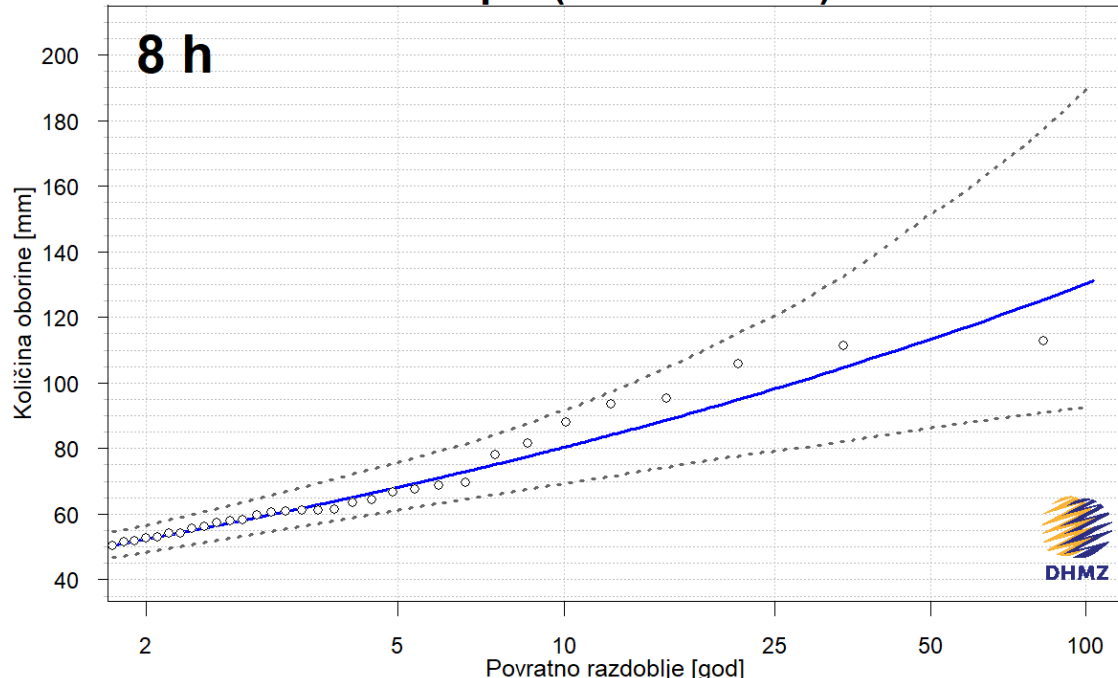
Slika 10. Procjene maksimalnih godišnjih količina oborine za različita povratna razdoblja (plava krivulja) i odgovarajući donji i gornji 95%-tni intervali pouzdanosti (crtkane krivulje) za trajanje 4 h, izračunate pomoću razdiobe GEV

Gospic (1962. – 2020.)

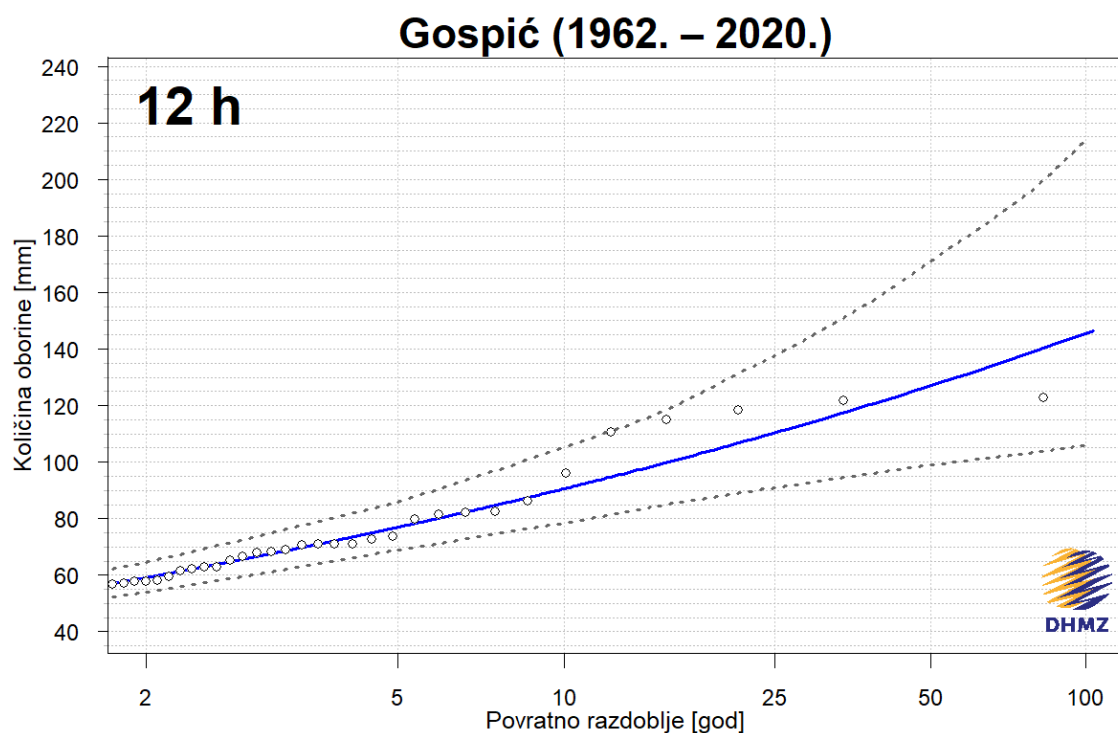


Slika 11. Procjene maksimalnih godišnjih količina oborine za različita povratna razdoblja (plava krivulja) i odgovarajući donji i gornji 95%-tni intervali pouzdanosti (crtkane krivulje) za trajanje 6 h, izračunate pomoću razdiobe GEV

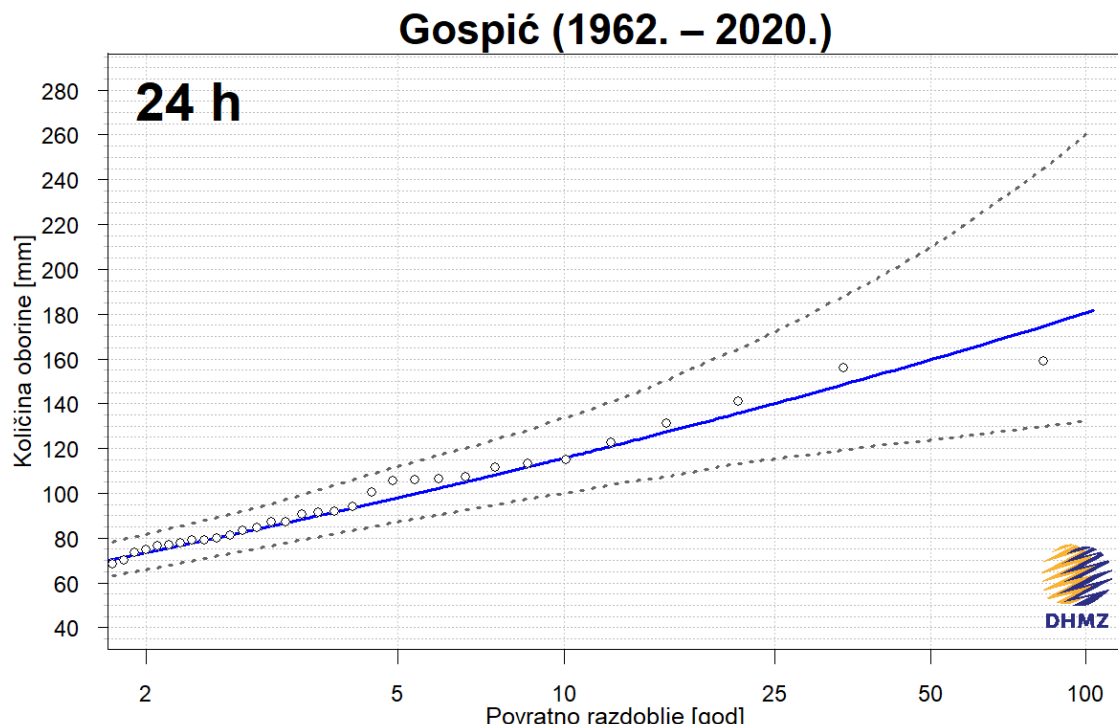
Gospic (1962. – 2020.)



Slika 12. Procjene maksimalnih godišnjih količina oborine za različita povratna razdoblja (plava krivulja) i odgovarajući donji i gornji 95%-tni intervali pouzdanosti (crtkane krivulje) za trajanje 8 h, izračunate pomoću razdiobe GEV



Slika 13. Procjene maksimalnih godišnjih količina oborine za različita povratna razdoblja (plava krivulja) i odgovarajući donji i gornji 95%-tni intervali pouzdanosti (crtkane krivulje) za trajanje **12 h**, izračunate pomoću razdiobe GEV



Slika 14. Procjene maksimalnih godišnjih količina oborine za različita povratna razdoblja (plava krivulja) i odgovarajući donji i gornji 95%-tni intervali pouzdanosti (crtkane krivulje) za trajanje **24 h**, izračunate pomoću razdiobe GEV